

# Design and Simulation of Magnetic Conductors to Enhance Features of Satellite Antennas and to Reduce Effects of Space Radiation

**M. Sh. Hosseinipanah<sup>1\*</sup> and F. Abdoullah-Mianji<sup>2</sup>**

1, 2. Nuclear Science and Technology Research Center

\*Karegar Northerly St., Thran, IRAN

[srhosseini@aeoi.org.ir](mailto:srhosseini@aeoi.org.ir)

*To improve the performance of satellite antennas, use of a high-impedance surface is purposed. High impedance surfaces are known as artificial magnetic conductors. The designed magnetic conductor includes an array of a Jerusalem Cross frequency selective surface which is connected to the ground via four pins. All conducting parts are made of Aluminum. The dielectric is Arlon AD 270 that fills the space between the ground and the JC frequency selective surface. The dielectric is made of fiberglass reinforced by Poly-tetrafluoroethylene (PTFE). In 4.73GHz and 7.43GHz, structure operates as a magnetic conductor. Using computer simulations, this structure is compared with a widely used artificial magnetic conductor. Aluminum and polymer chain of Carbon and Fluorine are composed of light elements, therefore using this material in antenna structure not only can improve specification of antenna but also can reduce cosmic ray effects.*

**Keywords:** High, Impedance surfaces, Magnetic conductors, Antenna miniaturization, Cosmic ray reduction

---

1. Assistant Professor (Corresponding Author)  
2. Assistant Professor

# طراحی و شبیه‌سازی هادی‌های مغناطیسی برای بهبود مشخصات آنتن‌های ماهواره و کاهش اثرات تشعشعات فضایی

میرشهرام حسینی‌پناه<sup>۱\*</sup> و فریدون عبدالله میانجی<sup>۲</sup>

۱- پژوهشگاه علوم و فنون هسته‌ای

\*تهران، انتهای کارگر شمالی

[srhosseini@aeoi.org.ir](mailto:srhosseini@aeoi.org.ir)

در این مقاله، به منظور بهبود عملکرد آنتن‌های ماهواره، استفاده از سطوح با امپدانس بالا پیشنهاد می‌شود. سطوح با امپدانس بالا اغلب با نام هادی‌های مغناطیسی مصنوعی شناخته می‌شوند. هادی مغناطیسی طراحی شده، شامل آرایه‌ای از سطوح انتخابگر فرکانسی JC-FSS است که با چهار پایه رساناً به صفحه زمین متصل می‌شود. کلیه قطعات رسانای آن از جنس آلومینیوم و دی‌الکتریکی از نوع آرلون ای دی ۲۷۰ (Arlon AD 270) است که فضای بین سطوح انتخابگر فرکانسی و زمین را پر می‌کند. این دی‌الکتریک از فایبر گلاس تقویت شده با (PTFE) ساخته می‌شود. با بهره‌گیری از شبیه‌سازی‌های کامپیوتری شرایط به‌گونه‌ای تعیین می‌شود که در محدوده‌های فرکانسی  $4/7/13$  گیگاهرتز، این ساختار تبدیل به یک هادی مغناطیسی با مشخصات ویژه شود. به منظور اثبات برتری این هادی مغناطیسی، مشخصات آن با یکی از متداول‌ترین انواع هادی‌های مغناطیسی مقایسه می‌شود. آلومینیوم و دی‌الکتریکی با زنجیره پلیمری از کربن و فلورئن، از جمله مواد نسبتاً سبک محسوب می‌شوند که با بهره‌گیری آنها در ساختار هادی مغناطیسی علاوه بر بهبود مشخصات آنتن، می‌توان پرتوهای ثانویه حاصل از تشعشعات کیهانی را به میزان قابل قبولی کاهش داد.

**واژه‌های کلیدی:** سطوح با امپدانس بالا، هادی‌های مغناطیسی، کاهش ابعاد آنتن، کاهش تشعشعات کیهانی

| علائم و اختصارات                 | امپدانس فضای آزاد  |
|----------------------------------|--|
| ضریب نفوذ مغناطیسی               | $\eta$   |
| قابلیت گزددهی                    | $\lambda$  |
| میدان الکتریکی مماسی در محیط یک  | $Z_s$  |
| میدان الکتریکی مماسی در محیط دوم | $W_{=90^\circ}$  |
| میدان الکتریکی                   | $\Delta f$   |
| میدان مغناطیسی                   | مقدمه  |
| دامنه و فاز موج بازتابیده        | امروزه، فراماده‌ها کاربردهای فراوانی در فناوری‌های مرتبط با امواج الکترومغناطیس بهویژه در محدوده میکروویو پیدا کرده‌اند. در طبیعت مواد با ضریب نفوذ مغناطیسی ( $\mu$ ) و قابلیت گزددهی |

۱. استادیار (نویسنده مخاطب)

۲. استادیار

بسیار زیاد است ( $Z_s >> 377\Omega$ ) که در نتیجه آن امواج میکروویو سطحی با مدهای TE و TM و جریان‌های سطحی امکان انتشار روی سطح هادی مغناطیسی را ندارند. همانگونه که در شکل (۲a) نشان داده شده است، در رفلکتورهای آتنن که از جنس هادی‌های الکتریکی هستند، انتشار امواج در سطح رفلکتور و تابش از لبه‌ها، سبب تخریب پترن آتنن می‌شود. شکل (۲b) نمایش دهنده مزیت استفاده از هادی‌های مغناطیسی است. با استفاده از رفلکتورهای از جنس هادی مغناطیسی، انتشار امواج از لبه‌های رفلکتور به میزان چشمگیری کاهش می‌یابد و به دنبال آن کیفیت پترن آتنن بهبود می‌یابد.

با قراردادن امپدانس سطحی بسیار بالای هادی مغناطیسی در رابطه (۲)، مشخص می‌شود که اختلاف فاز موج تابیده و بازتابیده از هادی مغناطیسی مصنوعی صفر است [۳-۴].

همان طورکه در شکل (۳a) نشان داده شده است، در شرایطی که آتنن مونوپل یا دیپل به صورت افقی روی رفلکتور از جنس هادی الکتریکی قرار گیرد، برای افزایش بازدهی و کارآیی آتنن، موج بازتاب شده از رفلکتور باید هم فاز با موج تابیده از آتنن باشد. با توجه به اینکه هادی الکتریکی اختلاف فاز ۱۸۰ درجه بین موج تابیده و بازتابیده ایجاد می‌کند، در شرایطی که فاصله آتنن و رفلکتور بسیار کم باشد موج منتشر شده به وسیله آتنن و موج بازتاب شده از آتنن، یکدیگر را خنثی می‌کنند و در نتیجه کارآیی و بازده آتنن کاهش شدیدی خواهد داشت. در عمل برای جلوگیری از بروز این پدیده فاصله‌ای معادل با  $\lambda/4$  بین آتنن و رفلکتور در نظر گرفته می‌شود تا اختلاف فاز موج تابیده از آتنن و موج بازتابیده از صفحه رفلکتور صفر شود و در نتیجه یکدیگر را تقویت کنند. در محدوده بالایی فرکانس‌های میکروویو که طول موج کوچک است، فاصله  $\lambda/4$  اهمیت ندارد اما در پایین محدوده فرکانس‌های میکروویو، این فاصله بزرگ‌تر می‌شود و باعث افزایش حجم کلی آتنن و رفلکتور خواهد شد. در بسیاری از کاربردها در پایین محدوده فرکانس میکروویو، استفاده از هادی‌های مغناطیسی به منظور کاهش حجم کلی آتنن و رفلکتور اهمیت ویژه‌ای دارد. شکل (۳b) وضعیت‌های قرارگیری آتنن دیپل یا مونوپل را روی رفلکتوری از جنس هادی مغناطیسی نشان می‌دهد. همانگونه که مشاهده می‌شود فاصله آتنن از رفلکتور بسیار کوچک‌تر از  $\lambda/4$  و تقریباً در مجاورت آن است.

با توجه به مزایای ذکر شده برای هادی‌های مغناطیسی، در این مقاله طراحی نوع جدیدی از هادی‌های مغناطیسی با کاربرد فضایی ارائه می‌شود.

الکتریکی (۸) بزرگ‌تر از صفر وجود دارند. در سال‌های اخیر قطعات به‌گونه‌ای طراحی می‌شوند تا در یک محدوده فرکانسی کوچک، دارای ضریب نفوذ مغناطیسی منفی یا قابلیت گذردهی الکتریکی منفی یا هر دو منفی شوند. در داخل هادی‌های الکتریکی میدان الکتریکی صفر است و با درنظرگرفتن شرایط مرزی هادی‌های ( $E_{t_2} = E_{t_1}$ ، مؤلفه مماسی شدت میدان الکتریکی در سطح صفر است. امپدانس سطحی برای امواج ایستتا توسعه رابطه (۱) به دست می‌آید، بنابراین امپدانس سطحی هادی ناچیز خواهد شد.

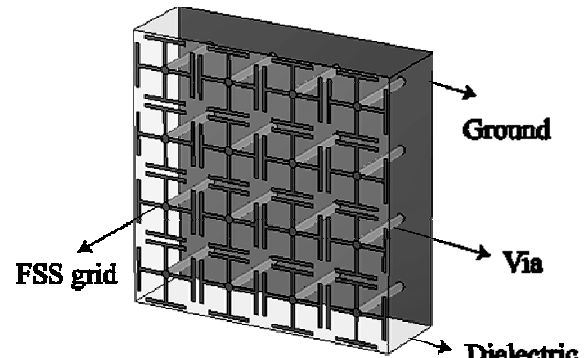
$$(1) \quad Z_s = \frac{E}{H} \quad (\Omega)$$

که در آن  $E$ ، شدت میدان الکتریکی و  $H$  شدت میدان مغناطیسی است. با استفاده از قوانین الکترومغناطیس، دامنه و فاز موج بازتابیده شده از سطح، با رابطه (۲) محاسبه می‌شود [۲ و ۱].

$$(2) \quad R = \frac{Z_s - \eta}{Z_s + \eta}$$

۷) امپدانس فضای آزاد است.

اولین بار در سال ۱۹۹۹، دسته جدیدی از فراماده‌ها با عنوان سطوح با امپدانس بالا با تمامی ویژگی‌های یک هادی مغناطیسی ساخته شدند. برای ساخت هادی مغناطیسی مصنوعی در محدوده فرکانسی میکروویو، همانگونه که در شکل (۱) نشان داده شده است، صفحات انتخابگر فرکانس ۳ از جنس هادی الکتریکی به وسیله اتصال دهنده‌ها<sup>۴</sup> از میان لایه دی الکتریک عبور می‌کند و به هادی الکتریکی زمین<sup>۵</sup> که در پشت آن قرار داده شده است متصل می‌شوند.



شکل ۱- ساختار هادی مغناطیسی مصنوعی

برخلاف هادی‌های الکتریکی که شدت میدان الکتریکی روی آن‌ها صفر است، در محدوده فرکانسی مشخصی، شدت میدان مغناطیسی در سطح هادی‌های مغناطیسی صفر است. بنابراین طبق رابطه (۱) امپدانس سطحی هادی‌های مغناطیسی نسبت به فضای آزاد

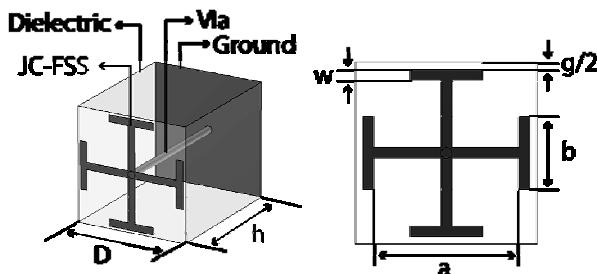
3. Frequency Selective Surface (FSS)

4. Vias

5. Ground

## طراحی هادی مغناطیسی

طراحی و شبیه‌سازی هادی مغناطیسی مصنوعی به وسیله نرم‌افزار CST Microwave Studio Ver.9 معترسازی نتایج از نرم‌افزار دیگری با عنوان HFSS Ver.13 استفاده شد و بهمنظور افزایش رفتار آنتن از نرم‌افزار JC استفاده شد. امروزه در طراحی رفلکتور آنتن، استفاده از هادی مغناطیسی JC متداول است. شکل (۴) ساختار یک سلوول JC را نشان می‌دهد.

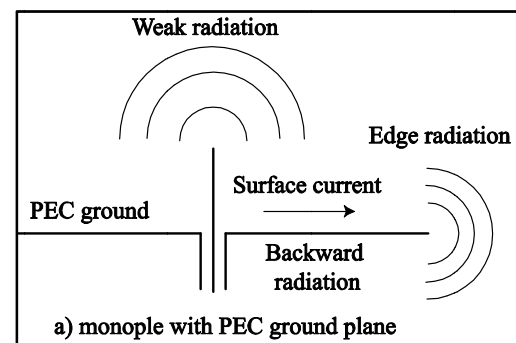


شکل ۴- یک سلوول از هادی مغناطیسی با ساختار JC

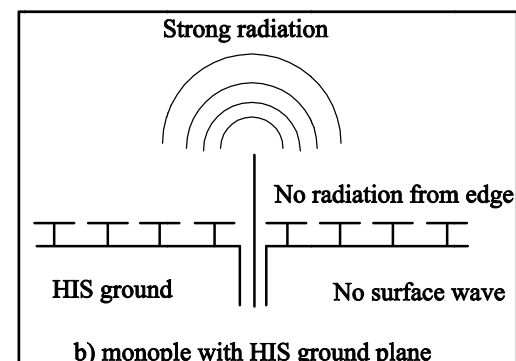
در عمل برای ساخت هادی مغناطیسی تعداد زیادی از این سلوول‌ها در مجاورت یکدیگر قرار می‌گیرند تا ساختاری مانند شکل (۱) را ایجاد کنند. ابعاد در نظر گرفته شده برای ساختار سلوولی شکل (۴) عبارت است از:  $a = 4/3$ ,  $w = 0.3$ ,  $b = 2$ ,  $g = 0.2$  و  $h = 6$  میلی‌متر و پریوید تکرار سلوول‌ها  $D = 4/8$  میلی‌متر است. قابلیت گزندگی نسبی دیالکتریکی (۲/۷) و قطر  $2/7$  و قطر  $0/3$  via میلی‌متر درنظر گرفته شده است. برای امواج تابیده شده به آرایه‌ای از سلوول‌های JC با مدهای TE و TM با زاویه‌های صفر،  $30^\circ$  و  $60^\circ$  درجه، فاز امواج بازتابیده شده از آرایه سلوولی هادی مغناطیسی JC در شکل (۵) نشان داده شده است. بهمنظور بررسی بهتر منحنی‌ها، جدول (۱) مشخصات موج بازتابیده شده را برای سه زاویه تابشی در مدهای TE و TM ارائه می‌دهد. پارامترهای داخل جدول عبارتند از:  $f_r$ ، فرکانس رزونانس فرکانسی است که در آن ساختار JC مانند هادی مغناطیسی عمل می‌کند،  $BW_{\pm 90^\circ}$ ، پهنای باند هادی مغناطیسی بین  $+90^\circ$  و  $-90^\circ$  درجه درنظر گرفته می‌شود،  $\Delta f$  اختلاف بین فرکانس رزونانس برای موج تابیده شده با زاویه صفر و  $60^\circ$  درجه است. از طریق رابطه زیر محاسبه می‌شود:

$$\delta f \% = \frac{BW_{\pm 90^\circ}}{f_r} \times 100 \quad (3)$$

مقدار  $\delta f \%$  نشان‌دهنده میزان حساسیت هادی مغناطیسی به تغییرات زاویه است. در عمل  $\delta f \%$  امداد مطلوب است.

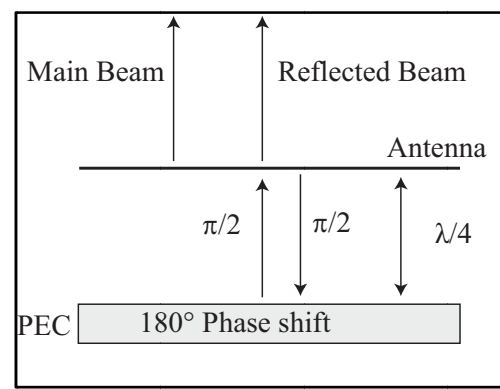


a) monopole with PEC ground plane

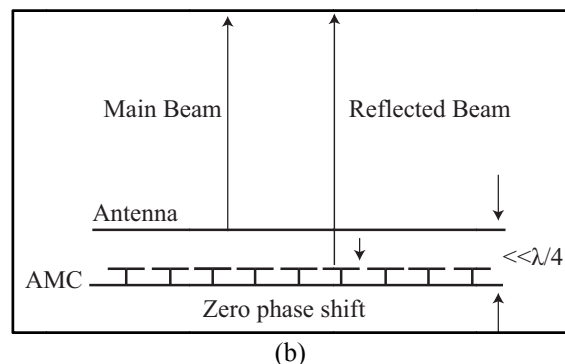


b) monopole with HIS ground plane

شکل ۲- وضعیت آنتن و رفلکتور (a) انتشار امواج سطحی روی رفلکتور از جنس هادی الکتریکی (b) عدم انتشار امواج سطحی روی رفلکتور از جنس هادی مغناطیسی



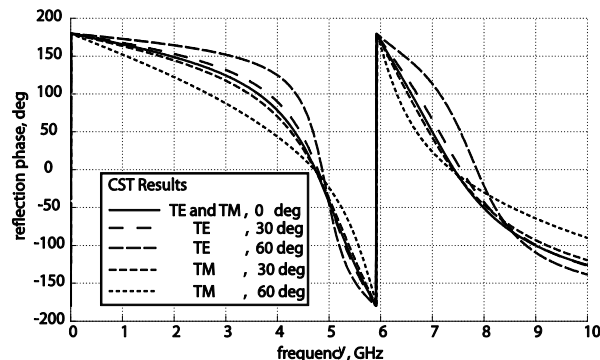
(a)



(b)

شکل ۳- آنتن افقی روی رفلکتور (a) رفلکتور از نوع هادی الکتریکی (b) رفلکتور از نوع هادی مغناطیسی مصنوعی

شکل (۷) فاز امواج بازتابیده شده آرایه‌ای از سلوول‌های SJC برای تابش با مدهای TE و TM در صفر، ۳۰ و ۶۰ درجه برای دو فرکانس رزونانس را نشان می‌دهد.



شکل ۷- فاز امواج بازتابیده شده برای زاویه‌های مختلف تابش

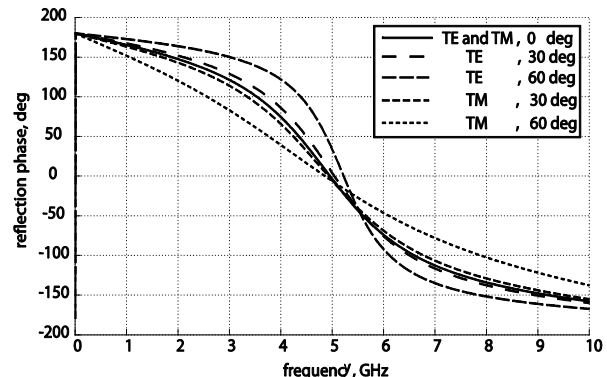
برای موج‌های تابشی TE و TM، جدول‌های (۲) و (۳) عملکرد JC-SJC را به ترتیب برای محدوده‌های فرکانس رزونانس اول و دوم ارائه می‌کنند. با دقت در جدول (۲) می‌توان دریافت که فرکانس رزونانس اول JC نسبت به فرکانس رزونانس JC کاهش پیدا کرده است. به علاوه حساسیت نسبت به تغییر زاویه تابشی موج در JC سیمتر از JC است. فرکانس رزونانس دوم JC برای امواج تابشی مدد حساسیتی تقریباً برابر با JC دارد ولی برای TM این حساسیت به مراتب کمتر است. بنابراین JC به علت کارآیی در دو محدوده فرکانسی و حساسیت کمتر نسبت به زاویه تابش موج، در عمل می‌تواند جایگزین مناسبی برای JC محسوب شود.

جدول ۲- مشخصه‌های امواج بازتابیده شده از سطح هادی مغناطیسی با ساختار JC-AMC برای فرکانس رزونانس اول

| Mode | $\theta^{\circ}$ | $f_r(\text{GHz})$ | $Bw_{\pm 90^{\circ}}(\text{GHz})$ | $\Delta f$ | $\delta f\%$ |
|------|------------------|-------------------|-----------------------------------|------------|--------------|
| TE   | .                | ۴/۹۵              | ۲/۶                               | ۰/۲۷       | ۵/۴%         |
|      | ۳۰               | ۵/۰۴              | ۲/۲۵                              |            |              |
|      | ۶۰               | ۵/۲۱              | ۱/۴۶                              |            |              |
| TM   | .                | ۴/۹۵              | ۶۲                                | ۰/۱        | ۲%           |
|      | ۳۰               | ۴/۹۲              | ۲/۹۴                              |            |              |
|      | ۶۰               | ۴/۸۵              | ۴/۶۶                              |            |              |

جدول ۳- مشخصه‌های امواج بازتابیده شده از سطح هادی مغناطیسی با ساختار JC-AMC برای فرکانس رزونانس دوم

| Mode | $\theta$ | $f_r(\text{GHz})$ | $Bw_{\pm 90^{\circ}}(\text{GHz})$ | $\Delta f$ | $\delta f\%$ |
|------|----------|-------------------|-----------------------------------|------------|--------------|
| TE   | .        | ۷/۴۲              | ۲/۰۷                              | ۰/۴۳۶      | ۵/۱۸%        |
|      | ۳۰       | ۷/۵۵              | ۱/۹۷                              |            |              |
|      | ۶۰       | ۷/۸۶              | ۱/۴۱                              |            |              |
| TM   | .        | ۷/۴۲              | ۲/۰۷                              | ۰/۰۵       | ۰/۶۷%        |
|      | ۳۰       | ۷/۴               | ۱/۱۹                              |            |              |
|      | ۶۰       | ۷/۷۷              | ۱/۵۳                              |            |              |

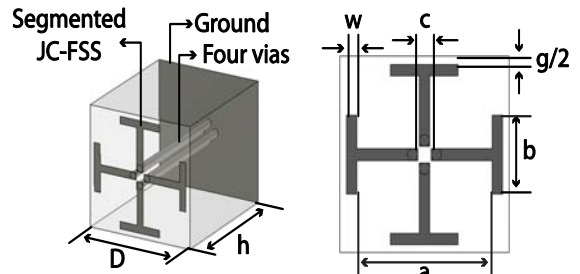


شکل ۵- فاز امواج بازتابیده شده برای زاویه‌های مختلف تابش

جدول ۱- مشخصه‌های امواج بازتابیده شده از سطح هادی مغناطیسی با ساختار JC-AMC

| Mode | $\theta^{\circ}$ | $f_r(\text{GHz})$ | $Bw_{\pm 90^{\circ}}(\text{GHz})$ | $\Delta f$ | $\delta f\%$ |
|------|------------------|-------------------|-----------------------------------|------------|--------------|
| TE   | .                | ۴/۹۵              | ۲/۶                               | ۰/۲۷       | ۵/۴%         |
|      | ۳۰               | ۵/۰۴              | ۲/۲۵                              |            |              |
|      | ۶۰               | ۵/۲۱              | ۱/۴۶                              |            |              |
| TM   | .                | ۴/۹۵              | ۶۲                                | ۰/۱        | ۲%           |
|      | ۳۰               | ۴/۹۲              | ۲/۹۴                              |            |              |
|      | ۶۰               | ۴/۸۵              | ۴/۶۶                              |            |              |

حال یک سلوول هادی مغناطیسی با ساختار JC-AMC به گونه‌ای تغییر داده می‌شود تا با حفظ ابعاد کلی، فرکانس رزونانس و مقدار حساسیت هادی مغناطیسی نسبت به زاویه تابش پرتو، کاهش یابند. طراحی جدید از بهبود در ساختار JC-AMC حاصل می‌شود. استفاده از چهار پین اتصال دهنده (via)، سبب افزایش انداختانس هادی مغناطیسی شده و در نتیجه آن فرکانس رزونانس کاهش می‌یابد. لایه JC-FSS به چهار قسمت تقسیم می‌شود و هر قسمت به یک via متصل می‌شود، هادی مغناطیسی تغییریافته (SJC) نامگذاری می‌شود. شکل (۶) ساختار سلوول SJC را نمایش می‌دهد. ابعاد و مقادیر داده شده در شکل (۳)، عیناً برای شکل (۶) در نظر گرفته شده است.



شکل ۶- سلوول هادی مغناطیسی با ساختار SJC-FSS

جدول ۵- تخریب جابه‌جاوی

| پرتوهای اولیه   | پروتون‌های گیرافتاده، الکترون‌های گیرافتاده و پروتون‌های خورشیدی |     |     |
|-----------------|--|-----|-----|
| مأموریت ماهواره | LEO  | MEO | GEO |
| پرتوهای ثانویه  | نوترون‌های ثانویه  | -   | -   |

جدول ۶- اثر تک رویدادی

| پرتوهای اولیه   | پروتون‌های گیرافتاده، ذرات پرانرژی خورشیدی و اشعه کیهانی |     |     |
|-----------------|--|-----|-----|
| مأموریت ماهواره | LEO  | MEO | GEO |
| پرتوهای ثانویه  | نوترون‌های ثانویه  | -   | -   |

زمانی که پرتو کیهانی به لایه‌های محافظه برخورد می‌کند، پرتوهای ثانویه از جنس نوترون، ایکس و پروتون ایجاد می‌شود که ممکن است به داخل فضاییما یا ماهواره نفوذ کنند. برای حفاظت‌سازی در برابر ذرات کیهانی پرانرژی استفاده از عناصر با عدد جرمی کمتر مناسب‌تر است، چراکه احتمال خردشدن و تبدیل آنها به ذرات ثانویه کوچک‌تر کمتر از عناصر سنگین است [۷]. هادی‌های مغناطیسی به عنوان رفلکتور با امپدانس سطحی زیاد در طراحی آتن‌ها مورد استفاده قرار می‌گیرند تا سبب کاهش حجم کل آتن‌ها و حذف امواج سطحی شوند. در طراحی هادی مغناطیسی SJC از آلومینیوم و دی‌الکتریک آرلون ۲۷۰ دی‌دی۲۷۰ استفاده شده است. دی‌الکتریک آرلون ای دی ۲۷۰ از فایبر‌گلاس تقویت‌شده با زنجیره پلیمری پلی‌ترافلورواتیلن<sup>۱۵</sup> تشکیل شده است. این پلیمر از ترکیب کربن و فلوئور ساخته می‌شود. هنگامی که پرتوهای کیهانی به آلومینیوم و پلیمر برخورد می‌کند به علت سبکی عناصر کربن و فلوئور تابش ثانویه کاهش چشمگیری می‌یابد. عناصر سبک هرچند که نمی‌توانند به طور کامل جلوی تابش‌های کیهانی را بگیرند اما می‌توانند آثار زیانبار این پرتوها را به مقدار زیاد کاهش دهند.

## نتیجه‌گیری

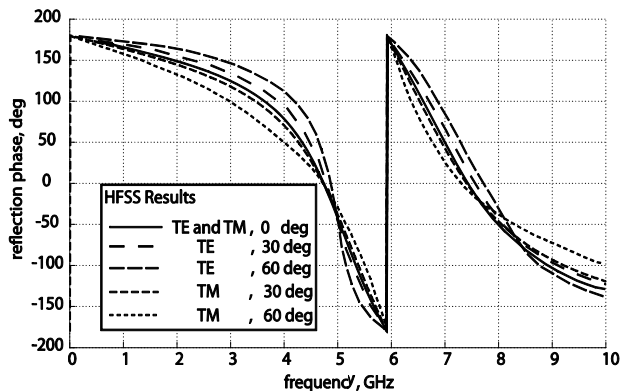
در این مقاله، هادی مغناطیسی و ویژگی‌های آن در مقایسه با هادی الکتریکی توضیح داده شد. سپس با استفاده از نرم‌افزار سی‌اس‌تی مایکروویو استودیو<sup>۱۶</sup> شبیه‌سازی بر روی نمونه‌ای از هادی‌های مغناطیسی از نوع JC صورت گرفت و مشخصاتی نظیر فرکانس رزونانس، پهنای باند و حساسیت نسبت به تغییر زاویه

14. Arlon AD 270

15. Poly-tetrafluorethylene

16. CST Microwave Studio

به منظور معتبرسازی داده‌های به دست آمده، با استفاده از نرم‌افزار HFSS، امواج بازتابیده شده آرایه‌ای از سولولهای SJC شبیه‌سازی شد. نتایج حاصل از HFSS برای تابش با مدهای TE و TM در زوایای صفر، ۳۰ و ۶۰ درجه برای دو فرکانس رزونانس در شکل (۸)، نشان داده شده است.



شکل ۸- شبیه‌سازی فاز امواج بازتابیده شده با نرم‌افزار HFSS برای زاویه‌های مختلف تابش

مقایسه شکل‌های (۷) و (۸)، بیانگر یکسان‌بودن فرکانس‌های رزونانس به دست آمده به وسیله شبیه‌سازی با نرم‌افزارهای CST و HFSS است. تفاوت حداقل ۵٪ منحنی‌ها در زاویه ۶۰ درجه، تأثیر چندانی در طراحی و عملکرد SJC نداشت.

## نقش SJC-AMC برای حفاظت در برابر پرتوهای کیهانی

سه پدیده <sup>۸</sup>TID، <sup>۹</sup>DD و <sup>۱۰</sup>SEE در حفاظت‌سازی ماهواره‌ها نقش مهمی ایفا می‌کنند. در جدول‌های (۴)، (۵) و (۶) پرتوهای اولیه و ثانویه تولیدشده در مدارهای <sup>۱۱</sup>LEO، <sup>۱۲</sup>MEO و <sup>۱۳</sup>GEO آورده شده است [۶].

جدول ۴- پرتوهای یونیزان کلی

| پرتوهای اولیه   | پروتون‌های گیرافتاده، الکترون‌های گیرافتاده و پروتون‌های خورشیدی |   |                              |
|-----------------|--|---|------------------------------|
| مأموریت ماهواره | LEO  | MEO   | GEO                          |
| پرتوهای ثانویه  | اشعة ایکس ناشی از الکترون‌ها<br>پروتون‌های ثانویه                | اشعة ایکس ناشی از الکترون‌ها<br>پروتون‌های ثانویه | اشعة ایکس ناشی از الکترون‌ها |

8. Total Ionizing Dose

9. Displacement Damage

10. Single-Event Effects

11. Low Earth Orbit

12. Mid Earth Orbit

13. Geostationary Earth Orbit

## مراجع

- [1] Balanis, C. A., *Antenna Theory: Analysis and Design*, 3<sup>rd</sup> Edition, Wiley Interscience, 2005.
- [2] Pozar, D.M., *Microwave Engineering*, 3<sup>rd</sup> Edition, John Wiley and Sons, 2005.
- [3] Hosseini Panah, M., Design of Artificial Magnetic Conductors, (Ph.D. Thesis), Harbin Institute of Technology, Dept. Astronomy, Harbin, China, Magnetic Fields and Microwave Technology, 2010.
- [4] Sievenpiper, D., Zhang, L. J., Broas, R. F. J., Alexopolous, N. G. and Yablonovitch, E., "High-Impedance Electromagnetic Surfaces with a Forbidden Frequency Band," *IEEE Transactions on Microwave Theory and Techniques*, Vol. 47, No. 1, 1999, pp. 2059-2074.
- [5] Sievenpiper, D., High-Impedance Electromagnetic Surfaces. (Ph.D. Thesis), Department Electronic Engineering, University of California at Los Angeles, Los Angeles, CA, 1999.
- [6] "Space Engineering Methods for the Calculation of Radiation Received and its Effects, and a Policy for Design Margins," *European Cooperation for Space Standardization*, ECSS-E-10-12 Draft 0.11, 2005.
- [7] Bell, J., Lail, D., Martin, C. and Nguyen, P., "Initial Report on Radiation Shielding for a Lunar Base," *United State NASA*, February 28, 2011.

تابش به دست آمد. سپس به منظور بهبود مشخصات، ساختار جدیدی با عنوان SJC ایجاد شد که دارای چهار کانکتور اتصال دهنده چهار بازوی جدا شده از JC به زمین است. آرایه‌ای از SJC شبیه‌سازی و مشخصات آن بررسی شد. مقایسه مشخصات آن با JC نشانگر این مطلب است که هادی مغناطیسی SJC دارای فرانس رزوانس پایین‌تر و حساسیت کمتر نسبت به تغییر زاویه تابش موج است. اعتبار با استفاده از نرم‌افزار HFSS Ver. 13 بررسی و تأیید شد. ضمناً با تغییر در ابعاد سلولی هادی مغناطیسی طراحی شده، می‌توان در محدوده فرانسی متفاوتی هادی مغناطیسی را طراحی کرد. در ساختار هادی مصنوعی SJC از آلومینیوم و دی‌الکتریک پلی‌تری‌فلورواتیلن استفاده شده است. کوچک‌بودن عدد جرمی آلومینیوم و عدد جرمی عناصر تشکیل‌دهنده زنجیره پلیمر (شامل کربن و فلورئور)، سبب می‌شود که بر اثر برخورد پرتوهای پرانرژی کیهانی به این عناصر سیک، خرد و شکسته‌شدن اتم‌ها به قطعات کوچک‌تر و پرتوهای ثانویه صورت نگیرد. بنابراین هادی مغناطیسی SJC راندمان و کارآیی آتن را بهبود می‌بخشد و در عین حال سبب کاهش نفوذ پرتو به داخل ماهواره می‌شود. استفاده از هادی مغناطیسی طراحی شده سبب کاهش فاصله آتن و رفلکتور می‌شود. علاوه بر این با حذف امواج سطحی سبب بهبود کیفیت پترن آتن می‌شود.